

FX001 Fyzikální vlastnosti materiálů – příklady do cvičení

Verze 4. ledna 2017

1 Chemická vazba, elastické a tepelné vlastnosti	2
1.1 Van der Waalsova vazba v krystalech vzácných plynů	2
1.2 *Madelungova konstanta lineárního řetízku	2
1.3 Kohezní energie iontového krystalu	2
1.4 Kohezní energie a skupenská tepla wolframu	3
1.5 Tenká pseudomorfní vrstva InAs na GaAs (001)	3
1.6 Teplotní roztažnost anharmonického potenciálu	3
1.7 Tepelná kapacita volných elektronů	3
1.8 Číselné odhady tepelné kapacity	3
1.9 Fononová tepelná kapacita 3D mřížky v Debyeově modelu	4
1.10 *Fononová tepelná kapacita jednoduché 1D, 2D mřížky	4
1.11 Tepelná vodivost elektronového plynu	4
2 Elektrické vlastnosti pevných látek	5
2.1 Elektrická vodivost kovů	5
2.2 Teplotní závislost měrného odporu kovů	5
2.3 Příměsový stav v polovodičích	5
2.4 *Statistika nositelů náboje v polovodiči typu N	6
2.5 Intrinsický polovodič	6
2.6 Aktivační energie vodivosti SiO ₂	6
2.7 Elektrická vodivost legovaného germania	7
2.8 Difuzní potenciál PN přechodu	7
2.9 Šířka ochuzené vrstvy a kapacita strmého PN přechodu	7
2.10 Polarizovatelnost atomu vodíku	7
2.11 Orientační polarizace	7
2.12 *Lineární feroelektrický řetízek	7
2.13 Měkký fononový mód	7
2.14 Křemenný oscilátor	8
3 Optické vlastnosti pevných látek	8
3.1 Materiálové vztahy v Laplaceově transformaci	8
3.2 Vlnový vektor a odezvová funkce	9
3.3 Poyntingův vektor a intenzita světla v prostředí	9
3.4 Elektromagnetická vlna v GaAs	9
3.5 Odrazivost a propustnost destičkového vzorku	11
3.6 Propustnost tlusté neabsorbující destičky	11
3.7 Optické konstanty z propustnosti a odrazivosti na destičkovém vzorku	12
3.8 Frekvenční závislost vodivosti vázaných elektronů v Lorentzově modelu	12
3.9 LST vztah pro GaAs	12
3.10 Pennův model	12
3.11 *Zobecněný vztah LST	12
3.12 Frekvenční závislost vodivosti volných elektronů v kovu v Drudeho modelu	13
3.13 Optická odezva zlata v IR a VIS	13
3.14 IR odrazivost n-dopovaného křemišku	13
3.15 Efektivní hmotnost a plazmová hrana v polovodiči InAs	13
3.16 Frekvence multifotonových absorpcí	14
3.17 Optické konstanty z kolmé reflektivity a fázového úhlu	14
3.18 Interference na tenké vrstvě	14
3.19 *Polarizace totálně odraženého světla	14
3.20 Exciton v GaAs	14
3.21 Sumační pravidlo optické vodivosti v kovu	15
3.22 Sumační pravidlo dielektrické funkce pro mřížovou absorpci	15
4 Magnetické vlastnosti pevných látek	15
4.1 Larmorova precese elektronu	15
4.2 Demagnetizační pole	15
4.3 Diamagnetická susceptibilita atomového vodíku	16
4.4 Paramagnetismus systému se spinem S=1/2	16
4.5 *Tepelná kapacita dvouhlinového systému	16
4.6 Paramagnetismus systému se spinem S=1	16
4.7 Hundova pravidla	16

4.8	Paramagnetická susceptibilita chloridu železnatého	16
4.9	Pauliho spinová susceptibilita	16
4.10	Feromagnetismus volných elektronů	17
4.11	Feromagnetismus ve Weissově teorii středního pole	17
4.12	Spontánní magnetizace v teorii středního pole	17
4.13	Spontánní magnetizace feromagnetu za velmi nízkých teplot	17
4.14	*Magnon v prosté kubické mřížce	17
4.15	Měrné teplo magnonového plynu za nízkých teplot	17
4.16	Vliv magnonů na magnetizaci feromagnetu za nízkých teplot	17
4.17	Hallův jev pro dva typy nositelů	18
4.18	Kvantové oscilace v kovu	18
4.19	Cyklotronová rezonance v kovu	18
4.20	Cyklotronová rezonance v polovodiči	18
5	Supravodiče a grafen	18
5.1	Supravodivost – vnik magnetického pole do tenké supravodivé vrstvy	18
5.2	Sumační pravidlo optické vodivosti v supravodiči	18
5.3	Fermiho rychlosť povrchového stavu v topologickém izolátoru	19

Ke stažení na www.physics.muni.cz/~caha/vyuka.html.

1 Chemická vazba, elastické a tepelné vlastnosti

1.1 Van der Waalsova vazba v krystalech vzácných plynů

Určete rovnovážnou vzdálenost nejbližších sousedů, kohezní energii a objemový modul pružnosti v krystalech vzácných plynů. Meziatomový potenciál se dobře approximuje Lennard-Jonesovým potenciálem ve tvaru

$$U(r) = 4\epsilon \left[\left(\frac{\sigma}{r}\right)^{12} - \left(\frac{\sigma}{r}\right)^6 \right].$$

Vzácné plyny krystalizují v kubické plošně centrovane mřížce (fcc). Parametry potenciálu jsou uvedeny v následující tabulce:

prvek	ϵ (meV)	σ (Å)
Ne	3.12	2.74
Ar	10.4	3.40
Kr	14.0	3.65
Xe	19.9	3.98

1.2 *Madelungova konstanta lineárního řetízku¹

Určete Madelungovu konstantu α jednorozměrného iontového krystalu. V lineárním řetízku se střídají kladně a záporně nabité ionty a vzdálenost sousedních iontů je R .

1.3 Kohezní energie iontového krystalu

Vypočtěte kohezní energii krystalického KCl ve struktuře NaCl, CsCl a ve struktuře ZnS. Určete, která krystalická struktura je pro KCl stabilní. Odpudivou interakci nejbližších sousedů předpokládejte ve tvaru

$$u_{\text{odp}}(R_{ij}) = \lambda e^{-R_{ij}/\rho},$$

kde $\rho = 0.326$ Å a $\lambda = 2.13 \times 10^3$ eV. Mezi všemi atomy pak dále působí elektrostatická interakce

$$u_{\text{elst}}(R_{ij}) = \pm \frac{e^2}{4\pi\epsilon_0 R_{ij}}.$$

Madelungova konstanta struktury NaCl je $\alpha_{\text{NaCl}} = 1,747565$, CsCl je $\alpha_{\text{CsCl}} = 1,762675$ a struktury ZnS je $\alpha_{\text{ZnS}} = 1,6381$.

¹Náročnější a doplňující úlohy nebo jejich části jsou označeny *. Tyto úlohy se obvykle neřeší na cvičeních

1.4 Kohezní energie a skupenská tepla wolframu

Odhadněte kohezní energii wolframu, jestliže znáte následující vlastnosti: teplota tání $t_t = 3380^\circ\text{C}$, teplota varu $t_v = 5530^\circ\text{C}$, skupenské teplo tání $Q_t = 35.2 \text{ kJ/mol}$, skupenské teplo vypařování $Q_v = 799 \text{ kJ/mol}$.

1.5 Tenká pseudomorfnní vrstva InAs na GaAs (001)

Spočtěte mřížový parametr ve směru kolmo na povrch vrstvy InAs vrstvy deponované na monokrystalické podložce GaAs, jestliže jde o tzv. pseudomorfnní vrstvu. Krystalová mříž pseudomorfnní vrstvy je stlačena v obou směrech v rovině povrchu tak, aby mřížový parametr v rovině povrchu odpovídal mřížovému parametru substrátu. Jaký tlak působí na InAs vrstvu v rovinách kolmých na povrch a jaká je hustota elastické energie v takové pseudomorfnní vrstvě?

Elasticita kontinua: Mřížový parametr GaAs je $a_{\text{GaAs}} = 5.6533 \text{ \AA}$, InAs $a_{\text{InAs}} = 6.0583 \text{ \AA}$, elastické konstanty InAs $C_{11} = 8,34 \times 10^{10} \text{ N/m}^2$, $C_{12} = 4,54 \times 10^{10} \text{ N/m}^2$, $C_{44} = 3,95 \times 10^{10} \text{ N/m}^2$.

1.6 Teplotní roztažnost anharmonického potenciálu

Určete střední vzdálenost mezi atomy v závislosti na teplotě je-li meziatomový potenciál approximován v okolí minima Taylorovým rozvojem do třetího rádu:

$$U(x) = U_0 + cx^2 - gx^3,$$

kde $x = R - R_0$ je rozdíl meziatomové vzdálenosti od rovnovážné polohy. Pravděpodobnostní rozdělení meziatomových vzdáleností předpokládejte Boltzmannovo.

1.7 Tepelná kapacita volných elektronů

Pro trojrozměrný plyn volných elektronů najděte:

1. souvislost k_F a \mathcal{E}_F a hustoty elektronů n (počet elektronů na jednotku délky, plochy resp. objemu)
2. energiovou hustotu stavů $g(E)$

Pozn.: Vzájemnou konzistentnost výsledků je možné ověřit vztahem $\int_0^{\mathcal{E}_F} g(E) \text{ d}E = n$.

Poté pomocí Betheho-Sommerfeldova rozvoje

$$\int_0^{\infty} H(E) f_{FD}(E) \text{ d}E = \int_0^{\mu} H(E) \text{ d}E + \frac{\pi^2}{6} (k_B T)^2 H'(\mu) + \mathcal{O}\left[\left(\frac{k_B T}{\mu}\right)^4\right],$$

kde $f_{FD}(E) = \frac{1}{1+e^{(E-\mu)/kT}}$ a $H(E)$ je hladká funkce, určete teplotní závislost chemického potenciálu $\mu(T)$, střední hodnoty hustoty energie $u(T)$ a tepelnou kapacitu 3D elektronového plynu. Předpokládejte přitom, že v uvažovaném intervalu teplot je $T/T_F \ll 1$ a stačí tedy vzít pouze první člen Betheho-Sommerfeldova rozvoje.

1.8 Číselné odhadы tepelné kapacity

S využitím předchozích výsledků spočtěte Fermiho mez k_F , Fermiho energii \mathcal{E}_F , Fermiho rychlosť v_F , Fermiho teplotu T_F , střední energii elektronu $\langle E \rangle$ a hustotu energie u v elektronovém plynu s hustotou odpovídající stříbru ($n = 5.85 \cdot 10^{28} \text{ m}^{-3}$) při teplotě 0 K.

Určete tepelnou kapacitu elektronového plynu při pokojové teplotě a porovnejte s tabulkovou hodnotou pro stříbro $c_{pAg} = 235 \text{ J.kg}^{-1}.\text{K}^{-1}$.

Experimentálně zjištěná tepelná kapacita kovů pro nízké teploty splňuje vztah

$$\frac{C_v}{V_{\text{mol}}} = \gamma T.$$

Vypočtěte koeficient γ následujících kovů a srovnejte s tabulkovou hodnotou.

	a [Å]	γ [mJ/mol.K]
Cu	3,61	0,695
Ag	4,09	0,646
Au	4,08	0,729

Předpokládejte jeden vodivostní elektron na atom. Všechny tyto kovy mají strukturu kubickou plošně centrovou (fcc). Pomůcka: $(\frac{\pi}{12})^{2/3} \frac{k^2 m N}{\hbar^2} = 3.848 \times 10^{15} \text{ Jmol}^{-1} \text{K}^{-1} \text{m}^{-2}$.

1.9 Fononová tepelná kapacita 3D mřížky v Debyeově modelu

Uvažujme o jednoduché trojrozměrné kubické mřížce s jedním atomem v primitivní buňce, jejíž fononová disperzní relace odpovídá Debyeově modelu

$$\omega = ck, \text{ pro } \omega < \omega_D$$

kde c je rychlosť zvuku v materiálu. Najděte vztah mezi Debyeovou frekvencí ω_D a mřížovým parametrem. Odvodte teplotní závislost specifického tepla při velmi nízkých teplotách a dokažte, že při vysokých teplotách skupenské teplo splňuje Dulongovo-Petitovo pravidlo.

Pomůcka:

$$\int_0^\infty dx \frac{x^3}{e^x - 1} = \frac{\pi^4}{15}$$

1.10 *Fononová tepelná kapacita jednoduché 1D, 2D mřížky

Uvažujme o jednoduché jednorozměrné resp. dvourozměrné mřížce s jedním atomem v primitivní buňce, pro jejíž transverzální kmity platí pohybové rovnice

$$m\ddot{u}_i = K(u_{i-1} - 2u_i + u_{i+1}) \quad (1D)$$

$$m\ddot{u}_{ij} = K(u_{i-1,j} + u_{i+1,j} + u_{i,j-1} + u_{i,j+1} - 4u_{ij}) \quad (2D)$$

Najděte disperzní relace kmítů mřížky a teplotní závislost jejího specifického tepla při velmi nízkých teplotách.

Pomůcka:

$$\int_0^\infty dx \frac{x}{e^x - 1} = \frac{\pi^2}{6}, \quad \int_0^\infty dx \frac{x^2}{e^x - 1} = 2\zeta(3) \approx 2 \times 1.202 \dots$$

1.11 Tepelná vodivost elektronového plynu

Tok tepelné energie v materiálu, kde předpokládáme tepelný gradient ve směru osy z , je dán vztahem

$$j_E = \frac{1}{3} l \langle v \rangle \frac{du}{dz},$$

kde l je střední volná dráha, $\langle v \rangle$ střední driftová rychlosť a u je hustota vnitřní energie. Gradient $\frac{du}{dz}$ můžeme napsat ve tvaru

$$\frac{du}{dz} = \frac{du}{dT} \frac{dT}{dz} = c_V \frac{dT}{dz},$$

kde c_V je tepelná kapacita elektronového plynu. Dosadte do předchozích vztahů vztahy získané pro elektronový plyn a odvodte Wiedemannův-Franzův zákon

$$\frac{\lambda}{\sigma T} = \frac{\pi^2}{3} \left(\frac{k}{e} \right)^2 = 2,45 \times 10^{-8} \text{ W}\Omega\text{K}^{-2}.$$

Výsledek porovnejte s tabulkovými hodnotami pro reálné kovy.

kov	L ($10^{-8} \text{ W}\Omega\text{.deg}^{-2}$)		kov	L ($10^{-8} \text{ W}\Omega\text{.deg}^{-2}$)	
	při 0°C	při 100°C		při 0°C	při 100°C
Ag	2.31	2.37	Pb	2.47	2.56
Au	2.35	2.40	Pt	2.51	2.60
Cd	2.42	2.43	Sn	2.52	2.49
Cu	2.23	2.33	W	3.04	3.20
Mo	2.61	2.79	Zn	2.31	2.33

2 Elektrické vlastnosti pevných látek

2.1 Elektrická vodivost kovů

A. Jouleho teplo

V Drudeho modelu je pravděpodobnost toho, že doba mezi dvěma následujícími srážkami libovolného elektronu je v intervalu $(t, t + dt)$, $e^{-t/\tau} dt / \tau$. Kus kovu se nachází v homogenním elektrostatickém poli \mathbf{E} , teplota kovu je konstantní. Vyberme libovolný elektron z elektronového plynu a předpokládejme, že tento elektron vykonal srážku v čase $t = 0$ a další srážku v čase t .

1. Dokažte, že střední energie předaná elektronem při druhé uvažované srážce je $(eEt)^2 / 2m$.
2. Dokažte, že střední energie předaná elektronem při libovolné srážce je $(eE\tau)^2 / m$.
3. Nechť má kus kovu tvar válce s plochou podstavy S a výškou L a nechť je intenzita elektrického pole \mathbf{E} rovnoběžná s výškou válce. Najděte tepelný výkon generovaný při průchodu proudu a ověrte, že platí $P = RI^2$.

B. Numerické výsledky

1. Vypočtěte hustotu volných elektronů v mědi, je-li její hustota $\rho_{\text{Cu}} = 8960 \text{ kg m}^{-3}$ a relativní atomová hmotnost 63.5.
2. Měděným vodičem s příčným průřezem 0.2 cm^2 prochází proud 1 A. Jaká je střední driftová rychlosť elektronů?
3. Specifická elektrická vodivost mědi je $\sigma = 6 \cdot 10^7 \Omega^{-1} \text{ m}^{-1}$. Určete relaxační dobu elektronu.
4. Vypočtěte pohyblivost elektronů v sodíku, je-li jeho specifická vodivost $\sigma = 0.23 \cdot 10^8 \Omega^{-1} \text{ m}^{-1}$ a koncentrace nositelů náboje $2.652 \cdot 10^{28} \text{ m}^{-3}$.
5. Určete střední volnou dráhu vodivostních elektronů v sodíku při pokojové teplotě.

2.2 Teplotní závislost měrného odporu kovů

Pro většinu nemagnetických kovů můžeme teplotní závislost měrného odporu popsat pomocí Mathiessenova pravidla

$$\rho(T) = \rho_0 + \rho_1(T),$$

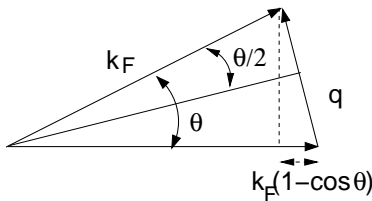
kde ρ_0 je teplotně nezávislý příspěvek rozptylu na příměsích a defektech krystalové mříže a $\rho_1(T)$ příspěvek rozptylu na tepelných kmitech mříže. Předpokládejte, že kmity mříže můžete popsat Debyeovým modelem ($\omega = cq$, kde c je rychlosť zvuku, maximální frekvence fononů je $\omega_D = cq_D$).

Spočtěte teplotní závislost měrného odporu za předpokladu, že měrný odpor je přímo úměrný celkové koncentraci fononů n . Výpočet provedte v limitě pro nízké ($kT \ll \hbar\omega_D$) a pro vysoké teploty ($kT \gg \hbar\omega_D$).

Předchozí výsledek neodpovídá experimentálně zjištěné závislosti pro nízké teploty. Oprava spočívá v započtení faktu, že fonony o nízké frekvenci mohou změnit směr pohybu elektronu jen o relativně malý úhel θ a k odporu přispějí faktorem rádu

$$(1 - \cos \theta) = 2 \sin^2 \theta / 2 = 2 \left(\frac{q}{2k_F} \right)^2,$$

kde k_F je Fermiho vlnový vektor vodivostních elektronů a q vlnový vektor fononů (viz obrázek). Zopakujte předchozí výpočet se započtením výše uvedeného faktoru.



2.3 Příměsový stav v polovodičích

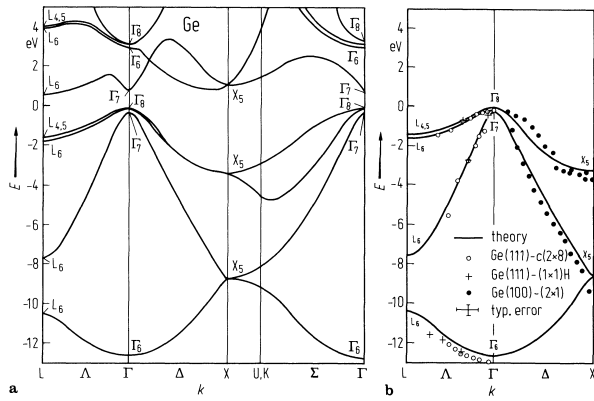
Polovodič InSb má zakázaný pás o šířce $E_g = 0.23 \text{ eV}$, statickou permitivitu $\epsilon = 18$ a efektivní hmotnost elektronů $m_{ef} = 0.15 m_e$. Vypočtěte ionizační energii donoru, poloměr dráhy odpovídající základnímu stavu a minimální koncentraci donorů, při níž se začíná projevovat překryvání elektronových dráh sousedních příměsových atomů (vzniká příměsový pás).

2.4 *Statistika nositelů náboje v polovodiči typu N

V polovodiči je 10^{13} donorů v cm^3 , které mají ionizační energii $E_D = 1 \text{ meV}$ a efektivní hmotnost $m_{ef} = 0.01 m_e$. Žádné akceptorové atomy nejsou přítomny a polovodič je nedegenerovaný, tj. $E_g \gg k_B T$. Odhadněte koncentraci vodivostních elektronů při $T = 4 \text{ K}$ a hodnotu Hallovy konstanty.

2.5 Intrinsický polovodič

Germanium má nepřímý zakázaný pás o šířce 0.67 eV . Ve vodivostním pásu je osm L minim ve tvaru rotačních elipsoidů s efektivními hmotnostmi $m_T = 1.6 m_e$ a $m_L = 0.08 m_e$. Maximum valenčního pásu se nachází v bodě Γ a vybíhají z něj dvakrát degenerovaný pás těžkých dér s izotropní efektivní hmotností $0.28 m_e$ a dvakrát degenerovaný pás lehkých dér s izotropní efektivní hmotností $0.044 m_e$. Vypočtěte intrinsickou koncentraci nositelů náboje při teplotě 300 K .



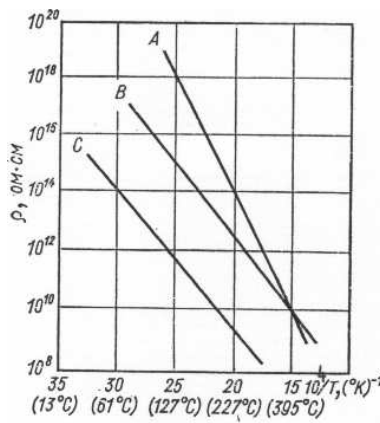
Pásová struktura germania podle článku Wachs, A. L., Miller, T., Hsieh, T. C., Shapiro, A. P., Chiang, T. C.: Phys. Rev. B 32 (1985) 2326

2.6 Aktivační energie vodivosti SiO_2

Měrná vodivost izolátorů závisí na teplotě podle Arrheniova vztahu:

$$\sigma = s e^{-\epsilon/kT},$$

kde ϵ je aktivační energie. Určete aktivační energii vodivosti křemene podle dat z následujícího obrázku.



Závislost měrného odporu SiO_2 na převrácené hodnotě teploty. Legenda: na ose x je $10^4/T (K)$, na ose y je měrný odpor v Ωcm . A – křemenné sklo, B – křemen, vodivost kolmo na hlavní osu krystalu, C – křemen, vodivost podél hlavní osy krystalu.

2.7 Elektrická vodivost legovaného germania

Germaniový ingot vznikl roztavením 100 g germania a $3,22 \times 10^{-6}$ g antimonu. Spočtěte stejnosměrnou elektrickou vodivost ingotu (atomová hmotnost germania je 72,60, antimonu 121,76, hustota germania je $5,46 \text{ g} \cdot \text{cm}^{-3}$, pohyblivost elektronů v germaniu je $3600 \text{ cm}^2/\text{V} \cdot \text{s}$). Jak se změní stejnosměrná vodivost, jestliže do ingotu přidáme navíc k antimonu $0,78 \times 10^{-6}$ g galia? Atomová hmotnost galia je 69,72 a pohyblivost děr $1700 \text{ cm}^2/\text{V} \cdot \text{s}$.

2.8 Difuzní potenciál PN přechodu

Křemíkový pn přechod o ploše 1 cm^2 se skládá z n-oblasti s 10^{17} donorů/ cm^3 p-oblasti s 2×10^{17} akceptorů/ cm^3 . Předpokládejte plnou ionizaci dopantů. Určete difuzní potenciál na pn přechodu za pokojové teploty, teploty kapalného dusíku (77 K), 100 °C a 200 °C.

2.9 Šířka ochuzené vrstvy a kapacita strmého PN přechodu

Uvažujte strmý PN přechod o ploše 10^{-4} cm^2 v křemíku s n-oblasti s 5×10^{17} donorů/ cm^3 p-oblasti s 3×10^{14} akceptorů/ cm^3 . Vypočtěte šířku ochuzené vrstvy v PN přechodu, maximální elektrické pole v ochuzené vrstvě a kapacitu bez přiloženého vnějšího elektrického napětí. Relativní permitivita křemíku je 11.7.

2.10 Polarizovatelnost atomu vodíku

a) Klasický výpočet

Uvažte klasický model popisující základní stav atomu vodíku v elektrickém poli kolmém na rovinu orbity. Ukažte, že v tomto modelu je polarizovatelnost rovna $\alpha = a^3$ (cgs) = $4\pi\epsilon_0 a^3$ (SI), kde a je poloměr neporušené orbity.

*b) Kvantový výpočet

Uvažme základní stav atomu vodíku s elektronovou vlnovou funkcí $\psi_0(\mathbf{r}) \sim \exp(-r/a_0)$. Atom vodíku vložíme do homogenního elektrického pole ve směru z . Hledejte novou vlnovou funkci elektronu ve tvaru $\psi = \psi_0(1 + \gamma z) = \psi_0 + \delta\psi$ a určete γ z minima energie. Ze známé hodnoty γ určete dipólový moment atomu vodíku ze vztahu

$$p = \int d^3\mathbf{r} (-e)z(\psi_0\delta\psi^* + \psi_0^*\delta\psi)$$

a ukažte, že jeho polarizovatelnost je rovna $\alpha = 4a_0^3$ (cgs) = $16\pi\epsilon_0 a_0^3$ (SI).

2.11 Orientační polarizace

Uvažujme o dielektriku, jehož molekuly mají permanentní dipólový moment p , vložené do vnějšího homogenního elektrického pole. Najděte vztah pro pravděpodobnost, že daný dipól svírá úhel θ se směrem pole za dané teploty T . Z této pravděpodobnosti odvodte vztah pro teplotní závislost polarizace dielektrika a jeho limitní tvar pro vysoké teploty (nebo slabá pole).

2.12 *Lineární feroelektrický řetízek

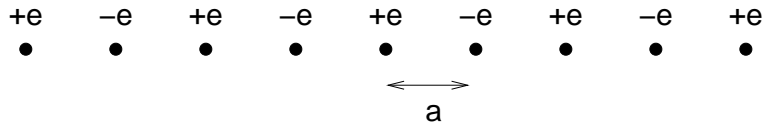
Předpokládejte lineární řetízek atomů o polarizovatelnosti α a vzdáleností sousedů a . Ukažte, že řetízek může být spontánně polarizován pokud $\alpha \geq 4\pi\epsilon_0 a^3 / (4\zeta(3))$, kde $\zeta(3) = \sum_{n=1}^{\infty} n^{-3} \approx 1,202 \dots$.

2.13 Měkký fononový mód

Uvažte lineární řetězec složený z iontů stejné hmotnosti, ale střídajícího se náboje $\pm e$. Meziatomový potenciál se skládá z krátkodosahové interakce se silovou konstantou C a z elektrostatické (dalekodosahové) interakce. Ukažte, že elektrostatickou interakci lze popsát silovou konstantou mezi n -tými nejbližšími sousedy

$$C_n = \frac{(-1)^n e^2}{2\pi\epsilon_0(na)^3},$$

kde a je vzdálenost nejbližších sousedů. Najděte disperzní relaci a nakreslete její graf pro vhodně volené parametry. Ukažte, že ω^2 je záporné (nestabilní mód) na hranici Brillouinovy zóny pro $\alpha = \frac{e^2}{2\pi\epsilon_0 C a^3} > 0.9508$.



2.14 Křemenný oscilátor

Křemenný krystal v řezu typu AT má efektivní modul pružnosti ve smyku 29.47 GPa v daném směru. Určete rychlosť zvuku c_s odpovídající danému kmitovému módu, je-li hustota křemene $\rho_s = 2643 \text{ kg.m}^{-3}$. Jakou tloušťku má mít křemenný oscilátor pro frekvenci 5 MHz ? Deponujeme-li na křemenný oscilátor o ploše A tenkou vrstvu o hmotnosti Δm změní se jeho vlastní frekvence podle Sauerbreyovy rovnice:

$$\Delta f = -\frac{2f_0^2 \Delta m}{Ac_s \rho_s},$$

kde f_0 je základní frekvence krystalu. Jak se změní frekvence, je-li deponovaná vrstva o tloušťce 1 nm z hliníku (hustota 2700 kg.m^{-3}) a zlata (19300 kg.m^{-3})?

3 Optické vlastnosti pevných látek

Maxwellovy rovnice v látkovém prostředí

$$\begin{aligned} \text{rot} \vec{E} &= -\frac{\partial \vec{B}}{\partial t}, \quad \text{div} \vec{B} = 0, \\ \text{rot} \vec{H} &= \frac{\partial \vec{D}}{\partial t} + \vec{j}_c + \vec{j}_{ext}, \quad \text{div} \vec{D} = \rho_{ext}, \end{aligned}$$

kde \vec{j}_c je proudová hustota volných nositelů v látce a $\vec{D} = \epsilon_0 \vec{E} + \vec{P}$ a $\vec{H} = \frac{1}{\mu_0}(\vec{B} - \vec{M})$. Uvažujme následující materiálové vztahy vyjádřené pomocí odeszových funkcí

$$\begin{aligned} \vec{D}(\vec{r}, t) &= \int_{-\infty}^{\infty} \int_{-\infty}^{\infty} \int_{-\infty}^{\infty} d^3 \vec{r}' \int_{-\infty}^{\infty} dt' \hat{\epsilon}(\vec{r}, \vec{r}', t, t') \vec{E}(\vec{r}', t') \\ \vec{H}(\vec{r}, t) &= \int_{-\infty}^{\infty} \int_{-\infty}^{\infty} \int_{-\infty}^{\infty} d^3 \vec{r}' \int_{-\infty}^{\infty} dt' \left(\widehat{\frac{1}{\mu}} \right)(\vec{r}, \vec{r}', t, t') \vec{B}(\vec{r}', t') \\ \vec{j}_c(\vec{r}, t) &= \int_{-\infty}^{\infty} \int_{-\infty}^{\infty} \int_{-\infty}^{\infty} d^3 \vec{r}' \int_{-\infty}^{\infty} dt' \hat{\sigma}(\vec{r}, \vec{r}', t, t') \vec{E}(\vec{r}', t'). \end{aligned}$$

V dalších úvahách předpokládáme:

1. prostředí bez magnetické odeszvy $\left(\widehat{\frac{1}{\mu}} \right) = \frac{1}{\mu_0}$,
2. homogenitu času $\hat{\epsilon}(\vec{r}, \vec{r}', t, t') = \hat{\epsilon}(\vec{r}, \vec{r}', t - t')$,
3. homogenitu prostředí $\hat{\epsilon}(\vec{r}, \vec{r}', t - t') = \hat{\epsilon}(\vec{r} - \vec{r}', t - t')$
4. a izotropii prostředí $\hat{\epsilon}(\vec{r} - \vec{r}', t - t') = \epsilon(|\vec{r} - \vec{r}'|, t - t')$.

Stejně podmínky jako pro permitivitu předpokládáme i pro vodivost.

3.1 Materiálové vztahy v Laplaceově transformaci

Nalezněte vztah mezi $\vec{D}(\vec{k}, \omega)$ (Laplaceova transformace $\vec{D}(\vec{r}, t)$) a $\vec{E}(\vec{k}, \omega)$ (Laplaceova transformace $\vec{E}(\vec{r}, t)$). Jednodušší varianta: Mějme rovinou vlnu:

$$\vec{E}(\vec{r}, t) = \vec{E}_0 e^{i(\vec{k} \cdot \vec{r} - \omega t)}, \quad \vec{D}(\vec{r}, t) = \vec{D}_0 e^{i(\vec{k} \cdot \vec{r} - \omega t)}.$$

Nalezněte vztah mezi \vec{D}_0 a \vec{E}_0 .

3.2 Vlnový vektor a odezvová funkce

Uvažujte prostředí bez prostorové disperze $\epsilon(\vec{k}, \omega) = \epsilon_0 \epsilon_d(\omega)$ a $\sigma(\vec{k}, \omega) = \sigma(\omega)$. Nalezněte vztah mezi vlnovým vektorem rovinné vlny a komplexní dielektrickou funkcí (druhou mocninou komplexního indexu lomu) definovanou vztahem

$$[n(\omega)]^2 = \epsilon(\omega) = \epsilon_d(\omega) + i \frac{\sigma(\omega)}{\epsilon_0 \omega}.$$

V obecném případě je vlnový vektor komplexní $\vec{k} = \vec{k}' + i\vec{k}''$. Z výsledku příkladu vyplývá, že

$$|\vec{k}'|^2 - |\vec{k}''|^2 + 2i\vec{k}' \cdot \vec{k}'' = \frac{\omega^2}{c^2} n^2(\omega).$$

V případě homogenní vlny mají reálný i imaginární části vlnového vektoru stejný směr a platí $|\vec{k}'| = \frac{\omega}{c} \Re\{n(\omega)\} = \frac{\omega}{c} N$ a $|\vec{k}''| = \frac{\omega}{c} \Im\{n(\omega)\} = \frac{\omega}{c} K$, kde N je index lomu a K index absorpcie.

3.3 Poyntingův vektor a intenzita světla v prostředí

Stanovte Poyntingův vektor a intenzitu světla pro rovinnou elektromagnetickou vlnu, která má elektrickou složku lineárně polarizovanou (tzv. TE mód).

3.4 Elektromagnetická vlna v GaAs

Uvažujte homogenní rovinnou elektromagnetickou vlnu v GaAs s energií fotonu $E = 1.5 \text{ eV}$ a $E = 2.0 \text{ eV}$. Index lomu GaAs je $n = 3.66 + 0.88i$ pro $E = 1.5 \text{ eV}$ a komplexní dielektrická funkce je $\epsilon = 15.01 + 1.575i$ pro $E = 2 \text{ eV}$. Určete vlnovou délku, vzdálenost na které poklesne intenzita světla na $1/e$ a reálnou a imaginární část komplexní dielektrické funkce (pro $E = 1.5 \text{ eV}$), případně indexu lomu (pro $E = 2 \text{ eV}$).

Fresnelovy koeficienty

Okrajové podmínky elektromagnetických veličin na rozhraní dvou prostředí:

1. tečná složka \vec{E} je spojitá na rozhraní,
2. tečná složka \vec{H} je spojitá na rozhraní,
3. normálová složka \vec{D} je spojitá na rozhraní
4. a normálová složka \vec{B} je spojitá na rozhraní.

V reálném případě dopadá na rozhraní obecně polarizovaná vlna, kterou lze vyjádřit jako součet dvou vhodně vybraných lineárně polarizovaných vln. Vhodnou volbou je takzvaná s-polarizovaná vlna, jejíž vektor elektrické intenzity je rovnoběžný s rovinou rozhraní (obrázek 1), a p-polarizovaná složka, jejíž vektor elektrické intenzity leží v rovině dopadu (obrázek 2). Ještě zavedeme označení pro index lomu prvního prostředí n_1 a druhého n_2 , veličiny popisující dopadající světlo budeme označovat indexem 0, odrážené indexem R a lomený paprsek indexem T . Souřadné osy zvolíme tak, aby osa z byla kolmá na rozhraní, vlnový vektor dopadajícího záření ležel v rovině xz (rovina dopadu) a byl kolmý na osu y .

Předpokládejme dopadající záření s-polarizovanou (elektrická intenzita rovnoběžná s osou y , obrázek 1) rovinnou vlnu

$$\vec{E}_0(\vec{r}) = \vec{E}_0 e^{i(\vec{k}_0 \cdot \vec{r} - \omega_0 t)}, \vec{k}_0 = (k_{0x}, 0, k_{0z}).$$

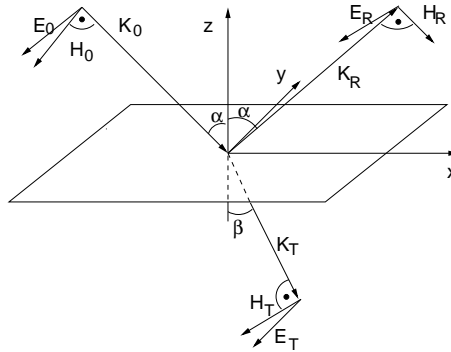
Odražené a lomené hledejme rovněž ve tvaru rovinné vlny

$$\vec{E}_R(\vec{r}) = \vec{E}_R e^{i(\vec{k}_R \cdot \vec{r} - \omega_R t)}, \vec{k}_R = (k_{Rx}, k_{Ry}, k_{Rz}),$$

$$\vec{E}_T(\vec{r}) = \vec{E}_T e^{i(\vec{k}_T \cdot \vec{r} - \omega_T t)}, \vec{k}_T = (k_{0x}, k_{Ty}, k_{0z}).$$

Z podmínky spojitosti tečné složky elektrické intenzity na rozhraní ($z = 0$) musí platit

$$E_{0y} e^{i(k_{0x}x - \omega_0 t)} + E_{Ry} e^{i(k_{Rx}x + k_{Ry}y - \omega_R t)} = E_{Ty} e^{i(k_{Tx}x + k_{Ty}y - \omega_T t)}$$



Obrázek 1: Schématické znázornění směrů vektorů elektrického a magnetického pole při odrazu a lomu s-polarizovaného světla. Vektory elektrické intenzity jsou kolmé na roviny dopadu xz , vektory magnetické intenzity v ní leží.

pro všechna x, y, t . Tato podmínka lze splnit pouze pokud

$$\omega_0 = \omega_R = \omega_T, \quad k_{0x} = k_{Rx} = k_{Tx} \quad \text{a} \quad k_{Ry} = k_{Ty} = 0.$$

Což znamená, že frekvence se při odrazu a lomu nemění a že se zachovává tečná složka vlnového vektoru. Pro odražený paprsek je to ekvivalentní zákonu odrazu – úhel dopadu se rovná úhlu odrazu. Pro lomený paprsek tato podmínka odpovídá Snellovu zákonu

$$n_1 \sin \alpha = n_2 \sin \beta.$$

Stejnou podmínku dostaneme i v případě obecné polarizace.

V s-polarizaci (obrázek 1) jsou okrajové podmínky pro tečnou složku elektrické intenzity triviální

$$E_0 + E_R = E_T.$$

Podmínka pro spojitost tečné složky magnetické intenzity dává

$$H_0 \cos \alpha - H_R \cos \alpha = H_T \cos \beta.$$

Magnetickou intenzitu můžeme vyjádřit pomocí elektrické intenzity za pomoci vztahu mezi elektrickou a magnetickou intenzitou $\omega \mu_0 \vec{H} = \vec{k} \times \vec{E}$ nebo pro velikosti v případě neabsorbujícího prostředí $H = \frac{n}{c\mu_0} E$. Potom lze předchozí výraz transformovat do tvaru

$$E_0 n_1 \cos \alpha - E_R n_1 \cos \alpha = E_T n_2 \cos \beta.$$

Z těchto dvou rovnic se dají vyjádřit Fresnelovy koeficienty odrazivosti a propustnosti

$$r_s = \frac{E_R}{E_0} = \frac{n_1 \cos \alpha - n_2 \cos \beta}{n_1 \cos \alpha + n_2 \cos \beta},$$

$$t_s = \frac{E_T}{E_0} = \frac{2n_1 \cos \alpha}{n_1 \cos \alpha + n_2 \cos \beta}.$$

Pro výpočet intenzity odraženého a lomeného paprsku je třeba ještě uvážit, že v případě reálného indexu lomu platí $I = \frac{n}{2c\mu_0} |E|^2$ a změnu směru Poyntingova vektoru:

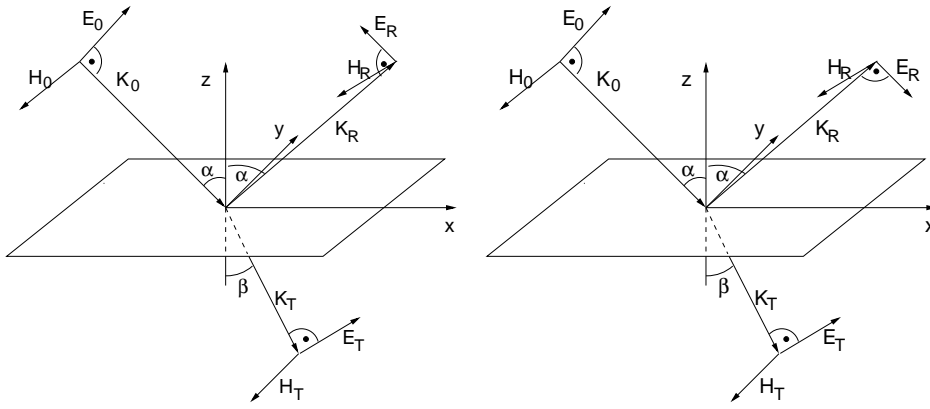
$$R_s = \frac{I_R}{I_0} = |r_s|^2 = \left| \frac{n_1 \cos \alpha - n_2 \cos \beta}{n_1 \cos \alpha + n_2 \cos \beta} \right|^2$$

$$T_s = \frac{I_T}{I_0} = \frac{n_2 \cos \beta}{n_1 \cos \alpha} |t_s|^2 = \frac{n_2 \cos \beta}{n_1 \cos \alpha} \left| \frac{2n_1 \cos \alpha}{n_1 \cos \alpha + n_2 \cos \beta} \right|^2$$

V p-polarizaci (obrázek 2 vlevo) je postup obdobný. Okrajové podmínky pro tečnou složku magnetické intenzity jsou

$$H_0 + H_R = H_T,$$

$$E_0 n_1 + E_R n_1 = E_T n_2.$$



Obrázek 2: Schématické znázornění směrů vektorů elektrického a magnetického pole při odrazu a lomu p-polarizovaného světla. Vektory magnetické intenzity jsou kolmé na roviny dopadu \$xz\$, vektory elektrické intenzity v ní leží. Vlevo varianta, která je použita v tomto textu. Varianta vpravo se též často používá, liší se jen opačným směrem vektoru \$\vec{E}_R\$.

Podmínka pro spojitost tečné složky elektrické intenzity dává

$$E_0 \cos \alpha - E_R \cos \alpha = E_T \cos \beta.$$

Z těchto rovnic se dají vyjádřit Fresnelovy koeficienty odrazivosti a propustnosti²

$$r_p = \frac{E_R}{E_0} = \frac{n_2 \cos \alpha - n_1 \cos \beta}{n_2 \cos \alpha + n_1 \cos \beta},$$

$$t_p = \frac{E_T}{E_0} = \frac{2n_1 \cos \alpha}{n_2 \cos \alpha + n_1 \cos \beta}.$$

A pro intenzitu odraženého a lomeného paprsku platí

$$R_p = \frac{I_R}{I_0} = |r_p|^2 = \left| \frac{n_2 \cos \alpha - n_1 \cos \beta}{n_2 \cos \alpha + n_1 \cos \beta} \right|^2,$$

$$T_p = \frac{I_T}{I_0} = \frac{n_2 \cos \beta}{n_1 \cos \alpha} |t_p|^2 = \frac{n_2 \cos \beta}{n_1 \cos \alpha} \left| \frac{2n_1 \cos \alpha}{n_2 \cos \alpha + n_1 \cos \beta} \right|^2.$$

Komplexní indexy lomu. V případě obecně komplexních indexů lomu prostředí jsou Fresnelovy vztahy formálně stejné. Goniometrické funkce ve Snellově zákoně a Fresnelových vztazích je však třeba brát jako funkce komplexního argumentu. Pro tyto případy odkazujeme ne specializovanou literaturu (uvezeno v přednáškách).

3.5 Odrazivost a propustnost destičkového vzorku

Vypočtěte intenzitu odraženého \$I_R\$ a prošlého \$I_T\$ světla přes tenkou vrstvu při kolmém dopadu v těchto případech (index lomu okolí \$n_1, n_3\$, vrstvy \$n_2\$):

1. \$n_1 = n_3\$ reálné, \$n_2\$ reálné, násobné odrazy započteny, tlustý vzorek (tlustší než koherenční délka).
2. \$n_1 = n_3\$ reálné, \$n_2 = N_2 + iK_2\$ komplexní, násobné odrazy nezapočteny.

3.6 Propustnost tlusté neabsorbující destičky

Spočtěte odrazivost a propustnost tlusté neabsorbující destičky o indexu lomu \$n\$. Počítejte obecně a pak číselně pro tyto materiálu v NIR oblasti:

	n
SiO ₂	1,46
Si	3,42
Ge	4,00

² Pozorný čtenář si jistě všimne, že pro kolmý dopad platí \$r_p = -r_s\$. Rozdílné znaménko Fresnelových koeficientů je důsledek použité definice směrů vektorů elektrického pole. V s-polarizaci (obrázek 1) mají při kolmém dopadu vektor \$E_0\$ a \$E_R\$ stejný směr, v p-polarizaci (obrázek 2 vlevo) mají směr opačný. V dostupné literatuře se často objevují i jiné definice, a následně tedy i jiná znaménka Fresnelových amplitud. Například varianta v obrázku 2 vpravo, kdy vyjde Fresnelova amplituda \$r_p\$ s opačným znaménkem.

3.7 Optické konstanty z propustnosti a odrazivosti na destičkovém vzorku

Na vzorek tvaru destičky o tloušťce d dopadá kolmo rovinná monochromatická vlna o vlnové délce λ . Poměr mezi intenzitou odražené a dopadající vlny je i_R , mezi intenzitou prošlé a dopadající vlny je i_T . Spočtěte index lomu N a index absorpcie K vzorku, nejprve obecně a pak pro hodnoty $d = 1\text{ mm}$, $\lambda = 550\text{ nm}$, $i_R = 0,3$ a $i_T = 0,01$. Násobné odrazy zanedbejte.

3.8 Frekvenční závislost vodivosti vázaných elektronů v Lorentzově modelu

Výchylka elektronů je v Lorentzově modelu popsán rovnicí

$$\frac{d^2x}{dt^2} + \frac{1}{\tau} \frac{dx}{dt} + \omega_0^2 x = \frac{F}{m} = \frac{1}{m} \Re [-eE_0 e^{-i\omega t}].$$

Najděte frekvenční závislost dielektrické funkce a komplexní vodivosti. Najděte frekvenci LO módu (reálná část permitivity je nulová) pro malé tlumení $\tau \gg 1/\omega_0$.

3.9 LST vztah pro GaAs

Disperzní závislost permitivity GaAs v IR oblasti lze vyjádřit v Lorentzově modelu jako

$$\varepsilon = \varepsilon_\infty + \frac{F}{\nu_{\text{TO}}^2 - \nu^2 - i\nu\gamma},$$

kde $\varepsilon_\infty = 10.9$, $\nu_{\text{TO}} = 269,2\text{ cm}^{-1}$, $\gamma = 3,3\text{ cm}^{-1}$ a $F = 1,45 \times 10^5\text{ cm}^{-2}$. Určete ν_{LO} a ε_0 .

3.10 Pennův model

Dielektrická funkce polovodičů splňuje Pennův vztah

$$\varepsilon_\infty = 1 + \frac{\omega_P^2}{\omega_g^2}$$

kde $\omega_P = \frac{Ne^2}{\varepsilon_0 m}$ je plazmová frekvence valenčních elektronů (obvykle připadají 4 valenční elektrony na jeden atom) a ω_g je Pennův gap. Pro malé energie lze frekvenční závislost approximovat vztahem

$$\varepsilon(\omega) = 1 + \frac{\omega_P^2}{\omega_g^2 - \omega^2}.$$

1. Určete index lomu diamantu v IR oblasti pro vlnové délky $3, 4, 5, 8, 10\text{ }\mu\text{m}$, znáte-li mřížový parametr $a_0 = 3.567\text{ \AA}$ a $\varepsilon_\infty = 5.6668$.
2. Porovnejte index lomu a disperzi Si a Ge v oblasti 4 až $8\text{ }\mu\text{m}$. Parametry Pennova modelu pro Si a Ge jsou uvedeny v tabulce:

	ε_∞	E_P (eV)	E_g (eV)
Si	11.70	16.6	5.07
Ge	16.00	15.6	4.04

3.11 *Zobecněný vztah LST

Předpokládejme, že dielektrická funkce závisí na frekvenci podle vztahu

$$\varepsilon(\omega) = A + \sum_j \frac{B_j}{\omega^2 - \omega_j^2}.$$

Dokažte, že LST vztah má v tomto případě tvar

$$\frac{\varepsilon(0)}{\varepsilon(\infty)} = \prod_j \left(\frac{\omega_j^0}{\omega_j} \right)^2,$$

kde ω_j^0 jsou kořeny rovnice $\varepsilon(\omega) = 0$. Jaký fyzikální smysl mají frekvence ω_j a ω_j^0 ?

3.12 Frekvenční závislost vodivosti volných elektronů v kovu v Drudeho modelu

V Drudeho modelu je pohyb elektronů popsán rovnicí

$$\frac{dv}{dt} + \frac{v}{\tau} = \frac{F}{m} = \frac{1}{m} \Re [-eEe^{-i\omega t}].$$

Najděte frekvenční závislost vodivosti.

3.13 Optická odezva zlata v IR a VIS

Optická odezva zlata v IR a VIS oblasti se dá popsát Drudeho formulí

$$\epsilon(E) = \epsilon_\infty - \frac{E_P^2}{E(E + i\Gamma)} \quad [\text{eV}],$$

kde $\epsilon_\infty = 3$, $E_P^2 = 57.2 \text{ eV}^2$ a $\Gamma = 0.0602 \text{ eV}$. Spočtěte reálnou část vodivosti, index lomu a hloubku průniku pro energie fotonu $\hbar\omega = 0.001, 0.01, 0.1, 1, 2$ a 3 eV .

3.14 IR odrazivost n-dopovaného křemíku

IR odrazivost n-dopovaného křemíku byla nafigována modelem

$$\epsilon(\omega) = \epsilon_\infty - \frac{F}{\nu(\nu + i\gamma)} \quad [\text{cm}^{-1}],$$

přičemž byly získány hodnoty parametrů $\epsilon_\infty = 11.62$, $F = 1.35 \times 10^7 \text{ cm}^{-2}$ a $\gamma = 361 \text{ cm}^{-1}$. Určete statický měrný odpor $\rho(0)$, index lomu pro frekvence nad plazmovou frekvencí a koncentraci dopantů za předpokladu efektivní hmotnosti elektronů $m^* = 0.26 m_e$.

3.15 Efektivní hmotnost a plazmová hrana v polovodiči InAs

Dielektrickou funkci legovaného polovodiče můžeme popsát přibližně vztahem

$$\epsilon(\omega) \approx \epsilon_\infty - \frac{\omega_P^2}{\omega^2},$$

kde ω_P je plazmová frekvence. Na obrázku je naměřená závislost kolmé odrazivosti n-dopovaného polovodiče InAs na vlnové délce v infračervené oblasti pro dvě koncentrace elektronů.

Pro frekvence nad plazmovou hranou platí $\epsilon(\omega > \omega_P) \approx \epsilon_\infty$. Odhadněte ϵ_∞ z hodnoty odrazivosti nad plazmovou hranou.

Pro jakou frekvenci je kolmá odrazivost podle výše uvedené dielektrické funkce nulová? Odhadněte efektivní hmotnost elektronů v InAs z polohy minima odrazivosti.

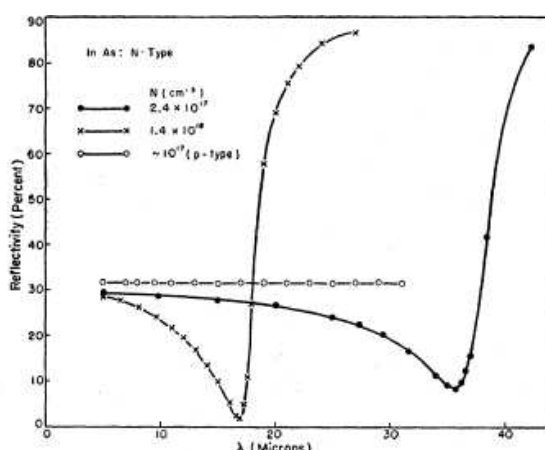


FIG. 13. Reflectivity vs wavelength for two *n*-type indium arsenide samples as well as a *p*-type sample of a sufficiently small hole concentration such that $\chi_c \sim 0$ for the wavelengths used.

Obrázek: Závislost odrazivosti n-dopovaného InAs na vlnové délce v μm v IR oblasti pro koncentraci elektronů $2,4 \cdot 10^{17} \text{ cm}^{-3}$ a $1,4 \cdot 10^{18} \text{ cm}^{-3}$. Třetí křivka odpovídá velmi slabě legovanému InAs. Podle W. G. Spitzer, H. Y. Fan, Phys. Rev. **106**, 882 (1957).

3.16 Frekvence multifononových absorpcí

Ověřte, zda třífonové absorpční frekvence daných materiálů splňují odmocninovou závislost na hmotnosti atomů

	$3\nu_{\text{LO}} (\text{cm}^{-1})$		$m (\text{at.u.})$
NaCl	795	Na	23.0
KCl	615	K	39.1
AgCl	597	Ag	107.9
KBr	489	Cs	132.9
CsBr	342	Cl	35.5
CsI	270	Br	79.9
		I	126.9

3.17 Optické konstanty z kolmé reflektivity a fázového úhlu

Ze změřené spektrální závislosti odrazivosti $R(\omega)$ v dostatečně širokém oboru frekvencí můžeme určit spektrální závislost komplexního indexu lomu s využitím Kramersových-Kronigových relací. Platí

$$r(\omega) = \rho(\omega)e^{i\phi(\omega)} = \frac{n(\omega) + ik(\omega) - 1}{n(\omega) + ik(\omega) + 1},$$

$$R(\omega) = |r(\omega)|^2, \quad \rho(\omega) = \sqrt{R(\omega)},$$

a

$$\phi(\omega_0) = -\frac{\omega_0}{\pi} \int_0^\infty \frac{\ln R(\omega')}{\omega'^2 - \omega_0^2} d\omega'.$$

Vyjádřete reálnou $n(\omega)$ a imaginární složku $k(\omega)$ indexu lomu pomocí $R(\omega)$ a $\phi(\omega)$.

3.18 Interference na tenké vrstvě

Určete odrazivost neabsorbující tenké vrstvy. Substrát má index lomu n_3 , vrstva má index lomu n_2 a tloušťku d . Vyjádřete také pro zvláštní hodnoty antireflexní vrstvy $n_2 = \sqrt{n_3}$ a $d = \lambda/4\sqrt{n_3}$. Navrhněte postup určení indexů lomu a tloušťky vrstvy z naměřené odrazivosti.

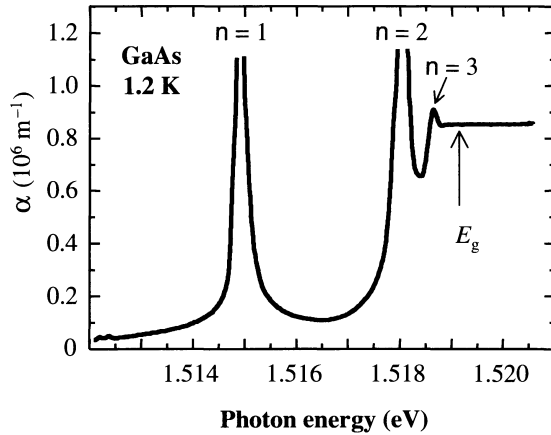
3.19 *Polarizace totálně odraženého světla

Na rozhraní sklo ($n_s = 1.5$)/vzduch dopadá dopadá pod úhlem $\theta = 50^\circ$ lineárně polarizované světlo. Vektor polarizace svírá úhel $\alpha = 45^\circ$ s rovinou dopadu. Určete polarizaci totálně odražené vlny.

3.20 Exciton v GaAs

Na obrázku je změřené absorpční spektrum GaAs za nízké teploty 1,2 K. Určete energii excitonu.

Efektivní hmotnost elektronů je $m_e^* = 0.067m_e$ a dér $m_h^* = 0.2m_e$. Odhadněte relativní permitivitu GaAs.



Podle G. W. Fehrenbach, W. Schäfer, R. G. Ulbrich, *J. Luminescence* **30**, 154 (1985).

3.21 Sumační pravidlo optické vodivosti v kovu

Spektrálně závislou elektrickou vodivost kovu můžeme napsat jako $\sigma(\omega) = \sigma_1(\omega) + i\sigma_2(\omega)$. Ukažte s využitím Kramersových-Kronigových relací, že

$$\lim_{\omega \rightarrow \infty} \omega\sigma_2(\omega) = \frac{2}{\pi} \int_0^\infty \sigma_1(\omega') d\omega'.$$

Dosaděte do tohoto vztahu Drudeho model absorpce na volných elektronech a ukažte, že platí

$$\int_0^\infty \sigma_1(\omega') d\omega' = \frac{\pi Ne^2}{2m},$$

kde N je koncentrace volných elektronů.

3.22 Sumační pravidlo dielektrické funkce pro mřížovou absorpci

Mějme optickou odezvu popsanou dielektrickou funkcí ve tvaru součtu N Lorentzových oscilátorů

$$\epsilon(\omega) = 1 + \sum_{j=1}^N \frac{F_j}{\omega_j^2 - \omega^2 - i\gamma_j\omega}.$$

Ukažte pomocí Kramersových-Kronigových relací pro reálnou část $\epsilon_1(\omega_0)$ v limitě $\omega_0 \rightarrow \infty$, že platí následující sumační pravidlo:

$$\sum_{j=1}^N F_j = \frac{2}{\pi} \int_0^\infty \omega \epsilon_2(\omega) d\omega.$$

4 Magnetické vlastnosti pevných látek

4.1 Larmorova precese elektronu

Spočtěte magnetický moment elektronu ($g = 2$). Jaká je frekvence Larmorovy precese v poli $B = 0.3$ T? Jak se liší energie elektronu se spinem ve směru a proti směru magnetického pole?

4.2 Demagnetizační pole

Kulový objekt tvořený (a) vodou nebo (b) $\text{MnSO}_4 \cdot 4\text{H}_2\text{O}$ je vložen do magnetického pole 0.5 T. Určete jak se liší magnetické intenzita H a indukce B vně a uvnitř vzorku v obou případech. Magnetické susceptibility jsou pro vodu $\chi = -90 \times 10^{-6}$ a $\text{MnSO}_4 \cdot 4\text{H}_2\text{O}$ $\chi = 2640 \times 10^{-6}$.

4.3 Diamagnetická susceptibilita atomového vodíku

Vlnová funkce atomu vodíku v základním stavu (1s) je $\psi = (\pi a_0^3)^{-1/2} \exp(-r/a_0)$, kde $a_0 = 0.529 \times 10^{-10}$ m. Nábojová hustota je $\rho(x, y, z) = -e|\psi|^2$. Ukažte, že pro tento stav platí $\langle r^2 \rangle = 3a_0^2$, a spočtěte molární diamagnetickou susceptibilitu atomového vodíku (-2.98×10^{-11} m³/mol).

4.4 Paramagnetismus systému se spinem S=1/2

Najděte magnetizaci jako funkci magnetického pole a teploty pro systém se spinem S=1/2, magnetickým momentem μ a koncentrací n . Ukažte, že v limitě pro vysoké teploty je výsledek $M \approx \frac{n\mu^2}{kT} B$.

4.5 *Tepelná kapacita dvouhlinového systému

Předpokládejte systém se dvěma hlinami, jejichž energiový rozdíl je $k_B\Delta$. Ukažte, že tepelná kapacita systému je

$$C = \left(\frac{\partial U}{\partial T} \right) = k_B \frac{(\Delta/T)^2 \exp(\Delta/T)}{(1 + \exp(\Delta/T))^2}.$$

Ukažte, že pro teplotu $T \gg \Delta$ je $C \approx k_B(\Delta/T)^2$.

4.6 Paramagnetismus systému se spinem S=1

Najděte magnetizaci jako funkci magnetického pole a teploty pro systém se spinem S=1, magnetickým momentem μ a koncentrací n . Ukažte, že v limitě pro vysoké teploty je výsledek $M \approx \frac{2n\mu^2}{3kT} B$.

4.7 Hundova pravidla

Najděte základní stav iontů Ho³⁺ (4f¹⁰), Er³⁺ (4f¹¹), Tm³⁺ (4f¹²) a Lu³⁺ (4f¹⁴).

4.8 Paramagnetická susceptibilita chloridu železnatého

V chloridu železnatém FeCl₂ má iont železa Fe²⁺ stav ⁵D₄ ($L = 2, S = 2, J = 4$). Určete Landého faktor. Vypočtěte konstantu C v Curieho zákoně $\chi = C/T$ a magnetickou susceptibilitu pro pokojovou teplotu. Hustota materiálu je $2,98 \text{ g} \cdot \text{cm}^{-3}$ a molekulová hmotnost je 127. Porovnejte s tabulkovou hodnotou měrné susceptibiliti $\chi = 1460 \cdot 10^{-9} \text{ m}^3 \cdot \text{kg}^{-1}$. Výpočet zopakujte, má-li kvůli orbitální interakci železo vázanou orbitální část a namísto stavu ⁵D₄ má stav s $L = 0$ tedy ⁵S₂ ($L = 0, S = 2, J = 2$).

4.9 Pauliho spinová susceptibilita

Spinovou susceptibilitu volných elektronů při teplotě 0 K lze řešit pomocí předpokladu

$$N^+ = \frac{1}{2}N(1 + \zeta), \quad N^- = \frac{1}{2}N(1 - \zeta),$$

kde N^+ a N^- je koncentrace elektronů se spinem nahoru a spinem dolů. Ukažte, že v magnetickém poli B je celková energie elektronů se spinem nahoru

$$E^+ = \frac{3}{10}N\epsilon_F(1 + \zeta)^{5/3} - \frac{1}{2}N\mu_B(1 + \zeta),$$

kde ϵ_F je Fermiho energie v nulovém magnetickém poli. Najděte podobný vztah pro energii elektronů se spinem dolů. Minimalizujte celkovou energii vzhledem k ζ v approximaci $\zeta \ll 1$ a najděte susceptibilitu.

Vypočtěte susceptibilitu kovového sodíku. Koncentrace volných elektronů sodíku je $n = 2,65 \times 10^{22} \text{ cm}^{-3}$ a Fermiho energie je $\epsilon_F = 3,23 \text{ eV}$. Bohrův magneton je $\mu_B = 9,2741 \times 10^{-24} \text{ JT}^{-1}$ a permeabilita vakuua je $\mu_0 = 4\pi \times 10^{-7} \text{ Hm}^{-1}$. Porovnejte s tabulkovou hodnotou susceptibiliti sodíku $\chi = 8.26 \times 10^{-6}$.

4.10 Feromagnetismus volných elektronů

Aproximujte efekt výměnné interakce mezi vodivostními elektrony interakcí s energií $-V < 0$ mezi elektrony se stejným spinem a energií 0 mezi elektrony s opačným spinem. S pomocí předchozího problému ukažte, že energie elektronů se spinem nahoru je

$$E^+ = \frac{3}{10}N\epsilon_F(1 + \zeta)^{5/3} - \frac{1}{2}N\mu B(1 + \zeta) - \frac{1}{8}VN^2(1 + \zeta)^2.$$

Najděte vztah pro elektrony se spinem dolů. Minimalizujte celkovou energii vzhledem k $\zeta \ll 1$. Najděte celkovou magnetizaci a ukažte, že feromagnetický stav se může objevit pro $V > \frac{4\epsilon_F}{3N}$

4.11 Feromagnetismus ve Weissově teorii středního pole

Najděte Curieho teplotu a magnetickou susceptibilitu nad T_C ve Weissově modelu středního pole pro feromagnet. V teorii středního pole se předpokládá, že lokální pole působící na každý atom se dá vyjádřit jako $B_{\text{lok}} = B_{\text{ext}} + \lambda M$, kde B_{ext} je vnější pole a M magnetizace.

Pomůcka: approximativní rozvoj hyperbolické kotangenty je $\text{cotgh}(x) = \frac{1}{x} + \frac{x}{3} + O(x^3)$.

4.12 Spontánní magnetizace v teorii středního pole

Najděte spontánní magnetizaci jako funkci teploty pod T_C v blízkosti T_C ve Weissově modelu středního pole pro feromagnet.

Pomůcka: approximativní rozvoj hyperbolické kotangenty je $\text{cotgh}(x) = \frac{1}{x} + \frac{x}{3} - \frac{x^3}{45} + O(x^5)$.

4.13 Spontánní magnetizace feromagnetu za velmi nízkých teplot

Ukažte, že za velmi nízkých teplot předpovídá Weissova teorie středního pole spontánní magnetizaci, která se liší od magnetizace za nulové teploty o člen, který závisí exponenciálně na $-1/T$.

4.14 *Magnon v prosté kubické mřížce

Odroďte disperzní relaci magnonu v prosté kubické mřížce (spin S , počet nejbližších sousedů $z = 6$.)

$$\hbar\omega = 2JS \left[z - \sum_{\delta} \cos(\mathbf{k} \cdot \boldsymbol{\delta}) \right],$$

kde $\boldsymbol{\delta}$ jsou vektory směřující k nejbližším sousedům.

4.15 Měrné teplo magnonového plynu za nízkých teplot

Spočtěte měrné teplo magnonového plynu za předpokladu, že disperzní relace magnonů je popsána vztahem

$$\omega \sim k^2.$$

Magnony jsou bosony a ukažte, že pro nízké teploty platí $c_v \sim T^{3/2}$.

Pomůcka:

$$\int_0^\infty dx \frac{x^{3/2}}{e^x - 1} = \frac{3\sqrt{\pi}}{4} \zeta(5/2) \approx \frac{3\sqrt{\pi}}{4} \times 1.342$$

4.16 Vliv magnonů na magnetizaci feromagnetu za nízkých teplot

Předpokládejme, že celková remanentní magnetizace je snížena o hodnotu úměrnou koncentraci magnonů. Spočtěte teplotní závislost koncentrace magnonů za nízkých teplot se stejnými předpokladz jako v předchozím příkladu.

4.17 Hallův jev pro dva typy nositelů

Předpokládejte, že koncentrace vodivostních elektronů a dér v polovodiči jsou n a p , relaxační doby τ_e a τ_h a efektivní hmotnosti m_e a m_h . Ukažte, že Hallův koeficient je

$$R_H = \frac{1}{e} \frac{p - nb^2}{(p + nb)^2},$$

kde $b = \mu_e/\mu_h$ je poměr pohyblivostí. Při výpočtu zanedbejte členy s B^2 .

4.18 Kvantové oscilace v kovu

Kov tvořený jedním tzpem atomů má tetragonální krystalovou mříž s parametry $a = 0.3275$ nm a $c = 0.3452$ nm. V magnetickém poli orientovaném podél c osy byly pozorovány kvantové oscilace s periodami $\Delta(1/B) = 3.526 \times 10^{-5}$ T $^{-1}$ a $\Delta(1/B) = 7.590 \times 10^{-4}$ T $^{-1}$. Při orientaci magnetického pole podél a nebo b osy žádné kvantové oscilace pozorovány nebyly. Odhadněte tvar Fermiho plochy, jde o monovalentní nebo divalentní kov?

4.19 Cyklotronová rezonance v kovu

Velmi čistý kovový vzorek při teplotě 1 K je ozářen mikrovlnným zářením o frekvenci 72 GHz. Maxima absorbované energie byla pozorována s periodou 0.95 T. Určete cyklotronovou efektivní hmotnost.

4.20 Cyklotronová rezonance v polovodiči

Nominálně nedopovaný vzorek polovodiče je ozářen zářením s energií nad gapem. Cyklotronová absorpce byla měřena při teplotě 1.5 K a frekvenci 300 GHz. Cyklotronové rezonance byly pozorovány při 1.1 T a 5.8 T. Určete efektivní hmotnost elektronů a dér.

5 Supravodiče a grafen

5.1 Supravodivost – vnik magnetického pole do tenké supravodivé vrstvy

Vnik magnetického pole do supravodiče může být popsán vztahem odvozený z Londonových rovnic

$$\lambda^2 \nabla^2 \mathbf{B} = \mathbf{B},$$

kde λ je hloubka vniku. Ukažte, že magnetické pole v tenké supravodivé vrstvě o tloušťce d orientované kolmo ke směru magnetického pole a ose z je dáno vztahem

$$B(z) = B_a \frac{\cosh z/\lambda}{\cosh d/2\lambda},$$

kde B_a je pole vně supravodivé destičky a střed destičky je v místě $z = 0$.

5.2 Sumační pravidlo optické vodivosti v supravodiči

Vodivost supravodiče v normálním stavu popíšeme jako $\sigma^N(\omega)$ a po zchlazení do supravodivého stavu jako $\sigma^S(\omega)$. Pro velmi vysoké frekvence (jako má rtg záření) je však optická odezva nezávislá na stavu supravodiče a platí

$$\sigma_2^N(\omega) = \sigma_2^S(\omega)$$

a podle příkladu 3.21 také

$$\int_0^\infty \sigma_1^N(\omega') d\omega' = \int_0^\infty \sigma_1^S(\omega') d\omega'.$$

V supravodivém stavu je stejnosměrná vodivost nekonečná a popíšeme ji jako delta funkci pro $\omega = 0$. Aby byla splněna výše uvedená integrální rovnice je vodivost supravodiče $\sigma_1^S(\omega)$ nulová pro frekvence mezi $0 < \omega < \omega_g$, tzv. supravodivá mezera. Předpokládejte, že vodivost nad ω_g není ovlivněna stavem supravodiče a tedy $\sigma_1^S(\omega) \approx \sigma_1^N(\omega)$ pro $\omega > \omega_g$. Ukažte, že příspěvek delta funkce v nulové frekvenci dá příspěvek $\sigma_2^S(\omega) \approx \sigma_1^N(0) \frac{\omega_g}{\omega}$.

5.3 Fermiho rychlosť povrchového stavu v topologickém izolátoru

Stejně jako elektronové stavы v grafenu mají lineární disperzi i povrchové stavы v topologických izolátorech. Typickým příkladem je Bi_2Se_3 , jehož naměřená disperze fotoelektronovou spektroskopíí je na obrázku – čáry naznačují průběh disperze povrchových stavů. Určete Fermiho rychlosť povrchových stavů.

